

ИЗДАЕТСЯ  
С ЯНВАРЯ  
1979 г.

МЕЖОТРАСЛЕВОЙ  
НАУЧНО-ТЕХНИЧЕСКИЙ  
И ПРОИЗВОДСТВЕННЫЙ  
ЖУРНАЛ

№ 1 (259)  
январь–март 2015

# ДВИГАТЕЛЕСТРОЕНИЕ

Санкт-Петербург

## РАСЧЕТЫ. КОНСТРУИРОВАНИЕ. ИССЛЕДОВАНИЕ ДВИГАТЕЛЕЙ

Тузов Л.В., Ганин Н.Б., Пряхин А.С.  
Идеальный термодинамический цикл ДВС  
с изохорным и изотермическим способами  
подвода теплоты

Гусаров В.В., Автаев Ф.В.  
Уравновешивание двигателей типа W8

## АВТОМАТИЗАЦИЯ И ДИАГНОСТИРОВАНИЕ

Коньков А.Ю., Яранцев М.В.  
Способ диагностирования плунжерных пар  
топливного насоса высокого давления

## ПРОБЛЕМЫ ЭКОЛОГИИ

Пушнин В.П.  
Строение сферических наноразмерных  
частиц дизельной сажи

Патракхальцев Н.Н., Аношина Т.С., Камышников Р.О.  
Снижение расхода топлива и вредных выбросов  
дизеля на режимах малых нагрузок  
методом изменения рабочего объема

Живлюк Г.Е., Петров А.П.  
Анализ возможностей снижения выбросов  
вредных веществ эксплуатируемыми СДЭУ

## КОНСТРУКЦИОННЫЕ МАТЕРИАЛЫ

Марукович Е.И., Бевза В.Ф., Груша В.П., Красный В.А.  
Повышение качества деталей из чугунов путем  
совершенствования процесса структурообразования

## НОВОСТИ ДВИГАТЕЛЕСТРОЕНИЯ

Мельник Г.В.  
Обзор журнала Diesel & Gas Turbine Worldwide  
за 2014 год

Новости ОАО «Звезда»

Развитие двигателестроения в России

## ИНФОРМАЦИЯ

АГРОИНФО-2015  
6-я международная научно-практическая  
конференция

Международная научно-практическая конференция  
«Новые горючие и смазочные материалы  
с присадками»

## ANALYSES, DEVELOPMENT AND CONSTRUCTION OF ENGINES

3 Tuzov L.V., Ganin N.B., Pryakhin A.S.  
Ideal Thermodynamic Cycle for Reciprocating Engine  
with Isochoric and Isothermal Heat Supply

7 Gusanov V.V., Avtayev F.V.  
Balancing W8 Engines

## AUTOMATION AND DIAGNISTICS

14 Konkov A.Yu., Yarantsev M.V.  
Assessment of Wear in HP Fuel Pump Plunger Pairs  
at an Early Stage

## ENVIRONMENTAL ISSUES

19 Pushnin V.P.  
Structure of Nanoscale Spherical Soot Particles

26 Patrakhal'tsev N.N., Anoshina T.S., Kamyshnikov R.O.  
Improvement in Engine Fuel Efficiency and Emission  
Performance at Low Loads by means  
of Displacement Control

30 Jivlyuk G.E., Petrov A.P.  
Reserves of Improvement in Emission Performance of  
Marine Diesel Engines

## MAINTENANCE AND REPAIR ISSUES

35 Marukovich E.I., Bevza V.F., Grusha V.P., Krasny V.A.  
Improvement in Structure Formation Technologies  
as a Means to Enhance Cast Iron Parts Quality

## ENGINE BUILDING NEWS

41 Melnik G.V.  
Review of Diesel & Gas Turbine Worldwide  
2014 Publications

51 News from JSC «Zvezda»

52 Progress of Engine Building in Russia

## INFORMATION

40 AGROINFO-2015  
6<sup>th</sup> International Academic And Research Conference

53 International Academic And Research Conference  
«New Fuels and Lubricants Modified with Additives»

## РЕДАКЦИОННАЯ КОЛЛЕГИЯ:

Л.А. Новиков, главный редактор

### ПРЕДПРИЯТИЯ

В.А. Шелеметьев	техн. директор	ОАО «Коломенский завод», г. Коломна
В.А. Рыжков	гл. конструктор	ОАО «Коломенский завод», г. Коломна
Е.С. Васюков	техн. директор	ЗАО УК БМЗ, г. Брянск
А.К. Лимонов	гл. конструктор	ОАО РУМО, г. Новгород
М.В. Бояркин	гл. спец. по развитию	ОАО ХК «Барнаултрансмаш», г. Барнаул
В.М. Гребнев	техн. директор	ОАО «Волжский дизель им. Маминых», г. Балаково
Р.Х. Хафизов	зам. гл. констр. по двиг.	ОАО КамАЗ, г. Набережные Челны
А.А. Матюшин	генеральный директор	ОАО ЗМЗ, г. Заволжье
В.И. Федышин	директор	МАН Ферросталь, Санкт-Петербургский филиал
В.В. Коновалов	1-й зам. ген.директора	ОАО «Звезда», Санкт-Петербург
А.П. Маслов	вед. инж.-конструктор	ООО ГСКБ «Трансдизель», г. Челябинск
А.С. Калюнов	начальник ИКЦ	ООО НЗТА, г. Ногинск

### НИИ

В.С. Папонов	ген. директор	ОАО НИКТИД, г. Владимир
Д.П. Ильющенко-Крылов	гл. инженер	ЗАО ЦНИИМФ, Санкт-Петербург
В.А. Сорокин	зав. отделом	ЗАО ЦНИИМФ, Санкт-Петербург
В.И. Ерофеев	нач. отдела	И ЦНИИ МО РФ, Санкт-Петербург
В.В. Альт	директор	ГНУ СибФТИ, г. Новосибирск
Ю.А. Микутенок	президент	ООО НПХЦ «Миакрон-Нортон»
Б.А. Зеленов	директор	НТЦ ПМТ ФГУП ЦНИИМ, Санкт-Петербург
А.М. Махмудов	с.н.с.	ФГУП «Крыловский ГНЦ», Санкт-Петербург

### ВУЗЫ

Ю.В. Галышев	зав. кафедрой ДВС	СПбГПУ, Санкт-Петербург
Н.Д. Чайнов	проф. кафедры Э-2	МГТУ им. Н.Э. Баумана, Москва
О.К. Безюков	проф. кафедры ТК СДВС	ГУМРФ им. С.О. Макарова, Санкт-Петербург
А.А. Иванченко	зав. кафедрой СЭУ	ГУМРФ им. С.О. Макарова, Санкт-Петербург
Л.В. Тузов	проф. кафедры ТК СДВС	ГУМРФ им. С.О. Макарова, Санкт-Петербург
А.С. Пунда	проф. кафедры ДВС	ГУМРФ им. С.О. Макарова, Санкт-Петербург
В.К. Румб	проф. кафедры ДВС и АСЭУ	ГМТУ, Санкт-Петербург
А.В. Смирнов	нач. кафедры Д и ТУ	ФГОУ ВПО ВИ(ИТ), Санкт-Петербург
В.О. Сайданов	проф. кафедры Д и ТУ	ФГОУ ВПО ВИ(ИТ), Санкт-Петербург
А.А. Обозов	профессор кафедры ТД	ФГБОУ ВПО БГТУ, г. Брянск
С.П. Косырев	профессор кафедры ТАМ	БИТТУ фил. ГОУ ВПО СГТУ г. Балаково
А.В. Разуваев	профессор кафедры ТАМ	БИТТУ фил. ГОУ ВПО СГТУ г. Балаково

Издатель журнала — ООО «ЦНИДИ-Экосервис», Санкт-Петербург.

Журнал издается при поддержке ФГОУ ВПО «Военный институт (инженерно-технический)» ВИ(ИТ), филиал «Военной академии материально-технического обеспечения», Санкт-Петербург.

Журнал включен в перечень ведущих рецензируемых научных журналов, рекомендованных ВАК Министерства образования и науки РФ для публикации основных научных результатов диссертаций на соискание ученых степеней доктора и кандидата технических наук ([www.vak.ed.gov.ru](http://www.vak.ed.gov.ru)).

Электронные версии журнала (2005–2015 гг.) размещены на сайте «Научная электронная библиотека» ([www.elibrary.ru](http://www.elibrary.ru)) и включены в Российский индекс научного цитирования (РИНЦ).

Выпускающий редактор Н.А. Вольская  
Редактор инф. отдела Г.В. Мельник  
Ст. редактор О.Д. Камнева  
Верстка — А.В. Вольский

Сдано в набор 03.03.2015  
Подписано в печать 20.03.15  
Формат бумаги 60 × 90 1/8

Бумага типографская.  
Печать офсетная. Усл. печ. л. 7  
Зак. 123. Тираж 1000 экз.  
Цена договорная

Почтовый адрес редакции журнала:  
ООО «ЦНИДИ-Экосервис», 191123, Санкт-Петербург, а/я 65

Тел.: +7 (921) 956-31-94

E-mail: [ecology@rdiesel.ru](mailto:ecology@rdiesel.ru)  
[www.rdiesel.ru](http://www.rdiesel.ru)

**ДВИГАТЕЛЕ  
СТРОЕНИЕ**

Типография «СВЕТЛИЦА»  
Лиц. ПД № 2-69-618, 196158,  
Санкт-Петербург, Московское шоссе, 25, 215

© Журнал «Двигателестроение». 2015. № 1 (259)

## ИДЕАЛЬНЫЙ ТЕРМОДИНАМИЧЕСКИЙ ЦИКЛ ДВС С ИЗОХОРНЫМ И ИЗОТЕРМИЧЕСКИМ СПОСОБАМИ ПОДВОДА ТЕПЛОТЫ

Л.В. Тузов, д.т.н., проф., Н.Б. Ганин, к.т.н., доцент, А.С. Пряхин к.т.н., проф.,  
ГУМРФ имени адмирала С.О. Макарова

Предлагается идеальный термодинамический цикл с изохорным и изотермическим способами подвода теплоты, обеспечивающий постоянство максимальной температуры цикла в период изотермического расширения, что обеспечивает высокий термодинамический КПД. Показано, что для обеспечения постоянной максимальной температуры цикла, в период изотермического расширения, необходима постоянная скорость подвода теплоты. Предлагаемый цикл может стать основой для создания экономичного управляемого низкотемпературного рабочего процесса при постоянной температуре сгорания с низкими выбросами окислов азота.

Совместными усилиями фирм WARTSILA и MAN завершается реализация программы «Геркулес», которая предусматривает в течение 2004–2015 гг. создать судовой дизель с почти нулевыми выбросами вредных веществ, и при этом существенно снизить удельный расход топлива. Осуществление таких противоречивых задач предполагается с помощью новой концепции сгорания. Одной из основ новой концепции является использование высокой степени сжатия и управляемое низкотемпературное сгорание топлива в цикле с целью одновременного снижения выбросов окислов азота и удельного расхода топлива. В результате реализации этой концепции удалось достичь максимальных значений давления и температуры сгорания соответственно: 30 МПа и 2000 °С при давлении на входе в двигатель 0,8 МПа [7].

Целью данной статьи является разработка такого идеального термодинамического цикла, в котором процесс подвода теплоты протекал бы при постоянной максимальной температуре цикла, а его термический КПД превышал бы КПД известных термодинамических циклов ДВС.

Как известно, ДВС по характеру процесса подвода теплоты в цикл делятся на три типа [4]:

➤ с изохорным подводом теплоты (цикл Отто);

➤ с изобарным подводом теплоты (цикл Дизеля);

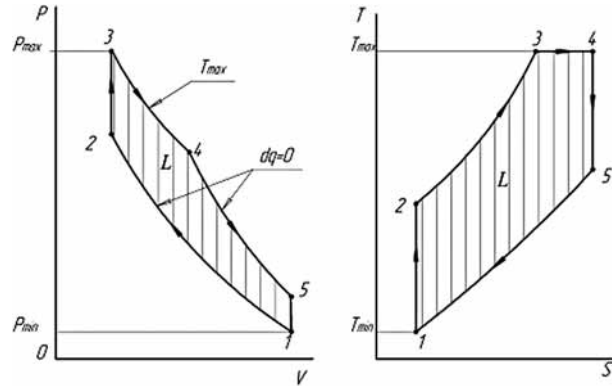


Рис. 1. Идеальный термодинамический цикл ДВС с изохорным и изотермическим способами подвода теплоты

➤ с изохорным и изобарным подводом теплоты (цикл Тринклера–Сабатэ).

В указанных циклах максимальное давление и максимальная температура цикла взаимосвязаны. Иными словами с увеличением максимального давления увеличивается максимальная температура цикла. По этой причине традиционные циклы непригодны для управляемого низкотемпературного рабочего процесса с постоянной температурой сгорания. Попытаемся для этой цели выполнить анализ возможностей идеального термодинамического цикла с изохорным и изотермическим способами подвода теплоты.

Рассмотрим этот идеальный термодинамический цикл в координатах p–V и T–S (рис. 1).

Цикл складывается из следующих процессов:

(1–2) — адиабатное сжатие в цилиндре до максимально допустимого давления в ДВС;

(2–3) — изохорный подвод теплоты до  $T_{\max}$ ;

(3–4) — изотермический подвод теплоты;

(4–5) — адиабатное расширение;

(5–1) — изохорный отвод теплоты;

$L$  — полезная работа цикла.

Для предлагаемого идеального термодинамического обратимого цикла (с изохорным и изотермическим подводом теплоты) справедливы следующие соотношения:

— степень предварительного изотермического расширения:

$$\rho_T = \frac{v_4}{v_3}; \quad (1)$$

— степень сжатия (в цилиндре ДВС)

$$\varepsilon = \frac{V_1}{V_2}; \quad (2)$$

— степень повышения давления

$$\lambda = \frac{P_3}{P_2}. \quad (3)$$

Используя традиционные методы термодинамического анализа, получим формулу для термического КПД такого цикла:

$$\eta_t = 1 - \frac{q_2}{q_1}, \quad (4)$$

где  $q_1$  и  $q_2$  — соответственно подведенная и отведенная теплота.

Подведенная теплота определяется суммой теплоты при постоянных объеме и температуре:

$$q_1 = q_1^v + q_1^t = c_v(T_{\max} - T_2) + R \cdot T_{\max} \cdot \ln \rho_T. \quad (5)$$

Отведенная теплота

$$q_2 = c_v(T_5 - T_1),$$

где  $c_v$  — удельная изохорная теплоемкость;  $T_{\max}$ ,  $T_2$ ,  $T_5$ ,  $T_1$  — температуры в соответствующих точках цикла;  $R$  — газовая постоянная.

Отсюда термический КПД термодинамического цикла с изохорным и изотермическим подводом теплоты составит:

$$\eta_t = 1 - \frac{c_v(T_5 - T_1)}{c_v(T_{\max} - T_2) + R \cdot T_{\max} \cdot \ln \rho_T}. \quad (6)$$

Учитывая, что  $R = c_p - c_v$ , а  $c_p / c_v = k$ , где  $k = 1, 4$  — показатель адиабаты и выражая температуры в характерных точках цикла через  $T_1$  после несложных преобразований получаем

$$\eta_t = 1 - \frac{\lambda \cdot \rho_T^{k-1} - 1}{\varepsilon^{k-1} [\lambda - 1 + (k-1)\lambda \cdot \ln \rho_T]}. \quad (7)$$

Если степень предварительного изотермического расширения  $\rho_T = 1$ , предлагаемый идеальный цикл становится известным циклом Отто.

Сравним КПД термодинамического цикла с изохорным и изотермическим подводом теплоты с другими известными циклами. Для корректного сравнения принимаем одинаковыми для всех циклов следующие параметры:

➤ максимальные и минимальные температуры циклов  $T_{\max}$  и  $T_{\min}$  составляют, соответственно, 2000 и 20 °C;

➤ максимальные и минимальные давления циклов  $P_{\max}$  и  $P_{\min}$  соответственно 30 и 0,8 МПа, что соответствует степени сжатия 11.

➤ степень предварительного изобарного расширения равна степени предварительного изотермического расширения  $\rho = \rho_T = 1,5$ ;

## Расчетные значения термического КПД идеальных циклов

Название цикла	Формула термического КПД	Величина термич. КПД, % при $\varepsilon = 11$
Карно	$1 - \frac{T_{\min}}{T_{\max}}$	87,1
Цикл Тринклера—Сабатэ с изохорным и изобарным подводом теплоты	$\varepsilon = \left( \frac{P_{\max}}{P_{\min} \cdot \lambda} \right)^{\frac{1}{k}};$ $\eta_t = 1 - \frac{1}{\varepsilon^{k-1}} \cdot \frac{(\lambda \cdot \rho^k - 1)}{\lambda - 1 + k \cdot \lambda (\rho - 1)}$	59,1
Цикл с изохорным и изотермическим подводом теплоты	$\varepsilon = \left( \frac{P_{\max}}{P_{\min} \cdot \lambda} \right)^{\frac{1}{k}};$ $\eta_t = 1 - \frac{\lambda \cdot \rho_T^{k-1} - 1}{\varepsilon^{k-1} [\lambda - 1 + (k-1)\lambda \cdot \ln \rho_T]}$	60,4

➤ степень повышения давления  $\lambda = 1,3$ .

Результаты расчетов термических КПД сравниваемых циклов представлены в таблице.

Как видим, наибольший термический КПД соответствует циклу Карно 87,1, а наименьший — циклу Тринклера—Сабатэ 59,1 %. Предложенный идеальный термодинамический цикл имеет более высокий термический КПД — 60,4 % по сравнению с циклом Тринклера—Сабатэ, который реализуется на практике в дизельных двигателях.

На рис. 2 показано влияние степени сжатия на термический КПД двух идеальных циклов.

Из графика видно, что разница термических КПД между циклом с изохорным и изотермическим подводом теплоты и циклом Тринклера—Сабатэ в диапазоне степени сжатия от 10 до 50 составляет от 1,3 до 0,7 %.

Однако для практического использования предлагаемого идеального цикла необходимо установить закон тепловыделения при изотермическом способе подвода теплоты, при котором температура сгорания оставалась бы постоянной в процессе изотермического расширения. Для определения искомого закона тепловыделения используем характеристику подвода теплоты  $x$  идеального термодинамического цикла:

$$x = \frac{Q(x)}{L}, \quad (8)$$

где  $Q(x)$  — количество теплоты, выделившееся при изменении объема цилиндра от начального до текущего;  $L$  — полезная работа цикла.

Характеристика интегрального подвода теплоты идеального цикла  $x$  представляет собой отношение количества подведенной теплоты, при изменении объема от начального до текущего, к полезной работе цикла и определяется по индикаторной

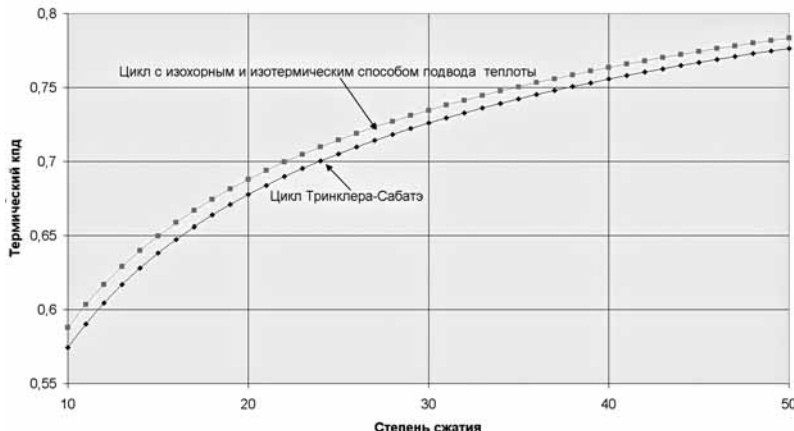


Рис. 2. Влияние степени сжатия на термический КПД идеальных циклов

диаграмме идеальных термодинамических циклов. Индикаторная диаграмма идеального термодинамического цикла с изохорным и изотермическим способами подвода теплоты в координатах  $P$ - $V$  представлена на рис. 3.

Для вычисления характеристики интегрального подвода теплоты идеального цикла воспользуемся известной методикой [1] по расчету характеристик динамики тепловыделения по индикаторной диаграмме реального рабочего процесса

$$Q_x = \int_{P_0 V_0}^{P_m V_m} \frac{d(pV)}{k-1} + \int_{V_0}^{V_m} p dV. \quad (9)$$

Полученную зависимость проще всего решить графическим методом, используя чертежно-графический редактор КОМПАС [3]. С помощью графического интегрирования зависимость (9) приводится к виду:

$$Q_x = \left( \sum_1^m \frac{p_2 V_2 - p_1 V_1}{k-1} + L_{\text{сж}} \right), \quad (10)$$

где  $p_1 V_1$ ,  $p_2 V_2$  — давление и объем в начале и в конце шага;  $L_{\text{сж}}$  — работа сжатия в пределах шага.

Отсюда интегральная характеристика подвода тепла определяется по формуле

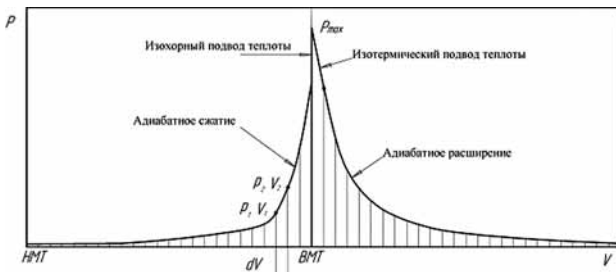


Рис. 3. Индикаторная диаграмма идеального термодинамического цикла с изохорным и изотермическим способами подвода теплоты

$$x = \frac{1}{L} \left( \sum_1^m \frac{p_2 V_2 - p_1 V_1}{k-1} + L_{\text{сж}} \right) \quad (11)$$

Интегральная характеристика идеального термодинамического цикла с изохорным и изотермическим способами подвода теплоты оценивает закон подвода теплоты в диапазоне от 0 до 1,0 в пределах от ВМТ до НМТ.

Характеристику интенсивности теплоподвода или закон подвода теплоты можно определить путем графического дифференцирования интегральной характеристики (11):

$$\frac{dx}{dV} = \frac{x_{j+1} - x_j}{\Delta V}. \quad (12)$$

Используя полученные интегральные и дифференциальные характеристики подвода теплоты, оценим идеальный термодинамический цикл с изохорным и изотермическим способами подвода теплоты и сравним его с другими известными циклами.

На рис. 4 изображены интегральные характеристики идеальных циклов с изотермическим подводом теплоты (цикл Отто), с изохорным и изотермическим подводом теплоты, с изохорным и изобарным способами подвода (цикл Тринклера-Сабатэ) и с изобарным подводом теплоты (цикл Дизеля) в зависимости от изменения рабочего объема.

Как видно из графика, интегральная характеристика  $x$  предложенного идеального термодинамического цикла занимает промежуточное положение между циклами Отто и Тринклера-Сабатэ.

Характеристика интенсивности теплоподвода  $dx/dV$  идеальных циклов показана на рис. 5.

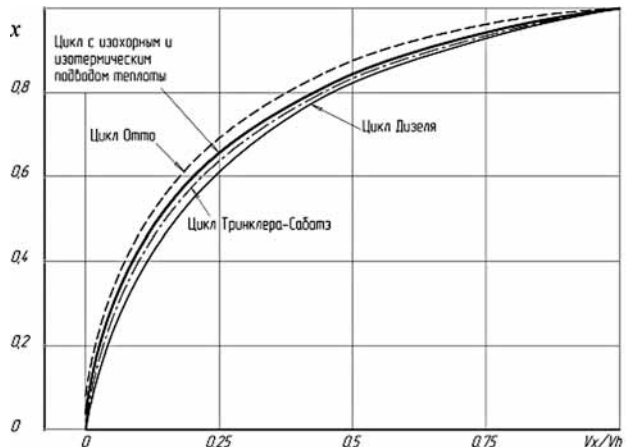


Рис. 4. Интегральные характеристики подвода тепла идеальных термодинамических циклов

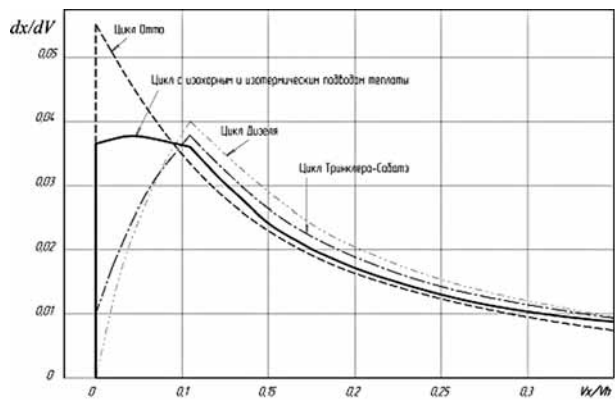
По результатам сравнительного анализа и расчетным характеристикам (см. рис. 4 и 5) можно сделать следующие выводы:

➤ наибольшей скоростью подвода тепла характеризуется у цикла Отто — 0,056, в то время как в других циклах этот параметр находится в узком диапазоне — от 0,036–0,04;

➤ цикл с изохорным и изотермическим подводом теплоты имеет практически постоянную скорость подвода тепла (0,036–0,037) в период изотермического расширения, в то время как другие циклы имеют ярко выраженные экстремумы.

➤ для обеспечения постоянной максимальной температуры цикла в период изотермического расширения необходима постоянная скорость подвода теплоты.

Таким образом, предлагаемый идеальный термодинамический цикл с изохорным и изотермическим способами подвода теплоты реализуется при постоянной максимальной температуре цикла в период изотермического расширения. Несмотря на то что термодинамический КПД предлагаемого цикла превышает КПД термоди-



**Рис. 5. Характеристика интенсивности теплоподвода идеальных циклов**

намического цикла Тринклера—Сабатэ незначительно (07–1,3 %), предлагаемый идеальный термодинамический цикл может стать основой для создания экономичного управляемого низкотемпературного рабочего процесса с постоянной температурой сгорания и, как следствие, низкими выбросами окислов азота.

## Литература

1. Теория двигателей внутреннего сгорания / Под ред. Н.Х. Дьяченко. — Л. : Машиностроение, 1974. — 552 с.
2. Ерофеев В.Л., Пряхин А.С. Термодинамические пределы энергоэффективности теплоэнергетических установок. Журнал университета водных коммуникаций, вып. 2 (18). — ГУМРФ им. адмирала С.О. Макарова, 2013. — С. 33–38.
3. Ганин Н.Б. Автоматизированное проектирование в системе КОМПАС-3D V12. — М. : ДМК Пресс, 2010. — 360 с.
4. Гаврилов В.В. Судовое главное энергетическое оборудование. Судовые двигатели внутреннего сгорания: учеб. пособие. — СПб. : СПГУВК, 2011. — 228 с.
5. Андрющенко А.И. Основы термодинамики циклов теплоэнергетических установок. — М. : Высшая школа, 1968. — 288 с.
6. Дизели. Справочник / Под редакцией В.А. Ваншнейдта. — М. : 1977. — 480 с.
7. Kyrtatos N., Hellberg L. and Poensgen C. Hercules-B: Ten Years After: Results From The Major Programme Hercules A-B-C On Marine Engine R&D, Paper № 18, 27th CIMAC Congress, Shanghai, 2013.